

Fig. 1A

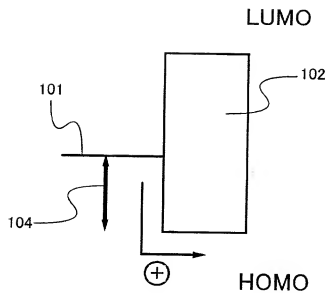
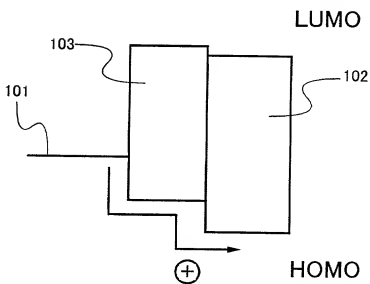


Fig. 1B



10026064-122101

Fig. 2

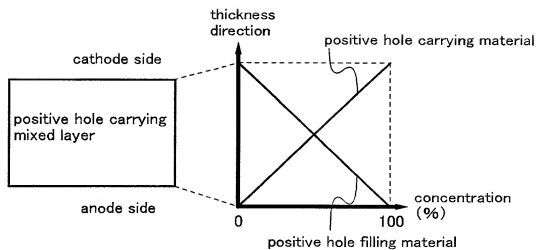
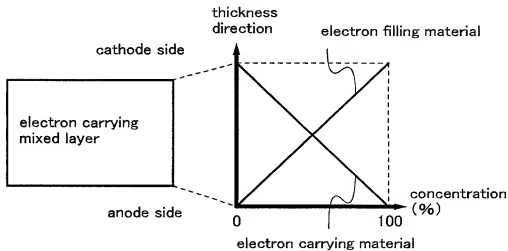


Fig. 3



10026064-122101

Fig. 4

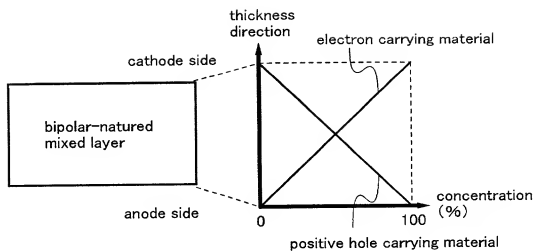
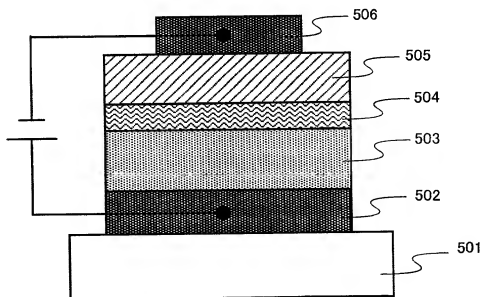


Fig. 5



10026064-122101

Fig. 6

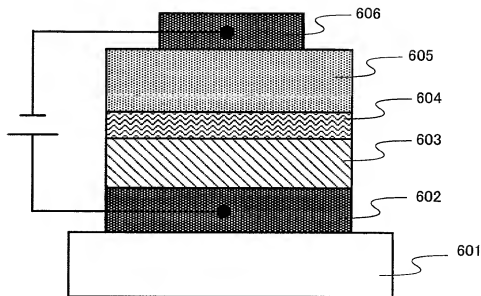
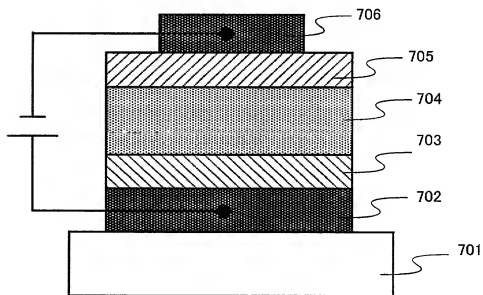


Fig. 7



10026064-122101

Fig. 8

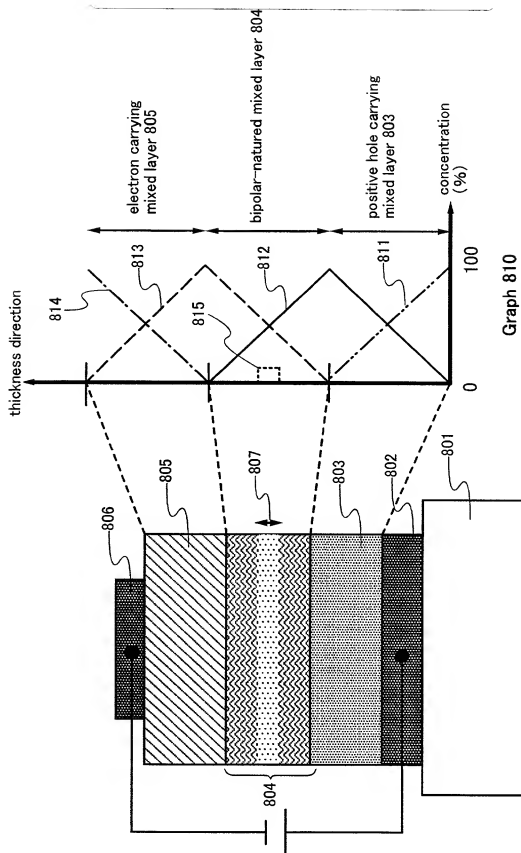
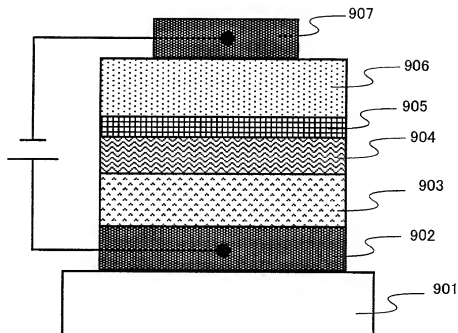


Fig. 9



10026064-122101

Fig. 10

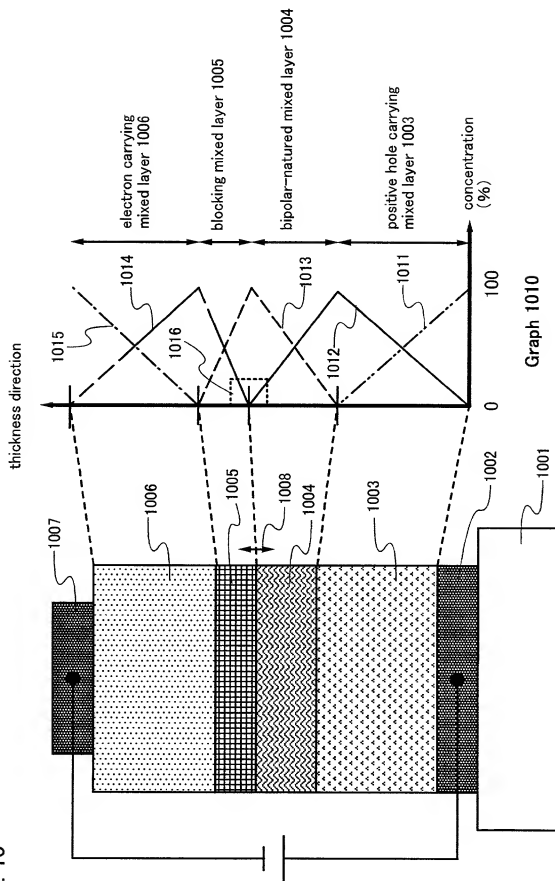
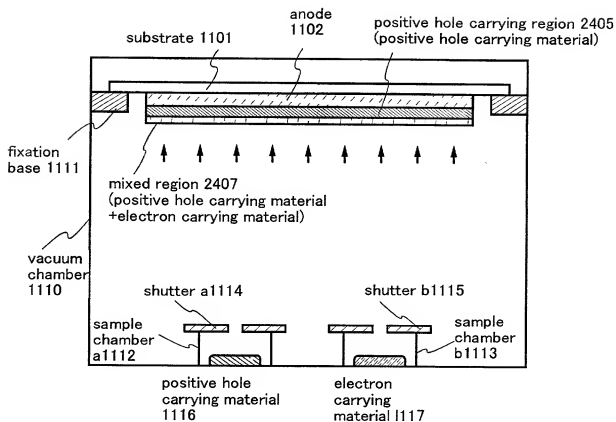


FIG. 10

Fig. 11



10026064-122101

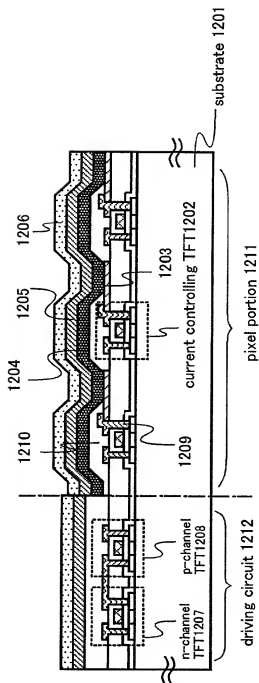


Fig. 12A

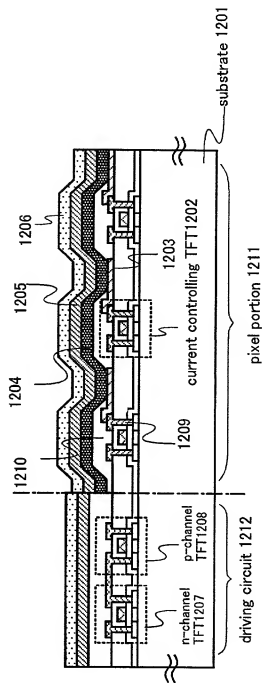


Fig. 12B

Fig. 12A

100367-100371

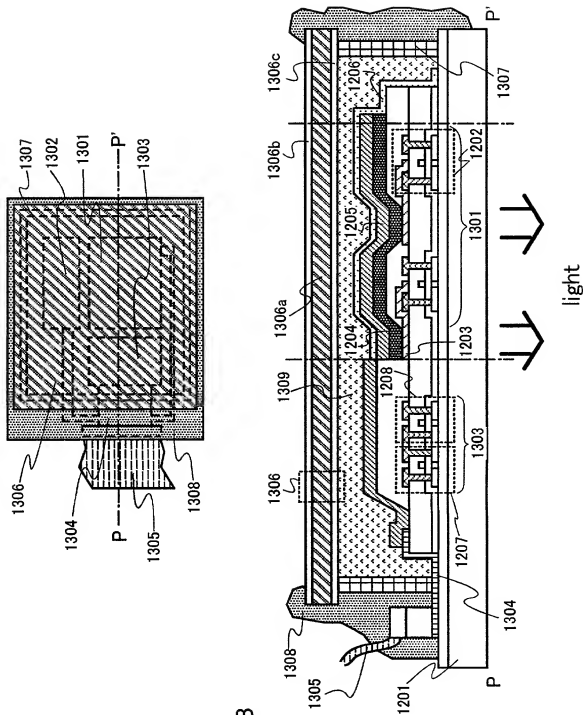


Fig. 13B

Fig. 14A

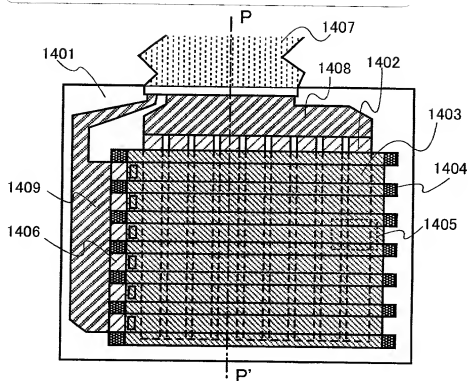


Fig. 14B

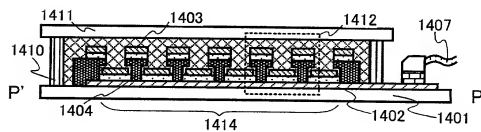


Fig. 14C

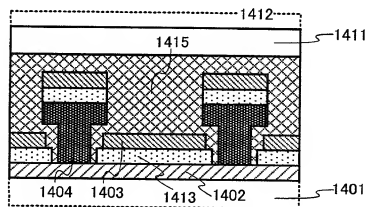


Fig. 15A

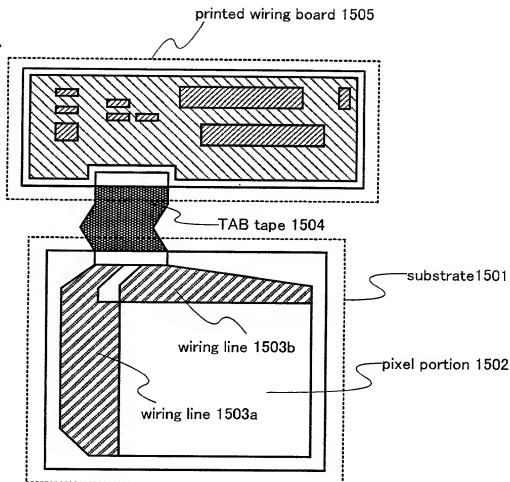


Fig. 15B

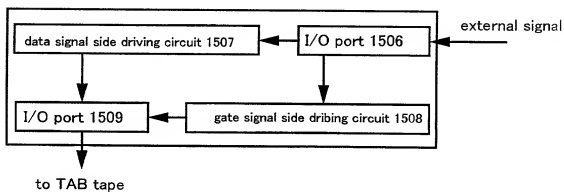


Fig. 16A

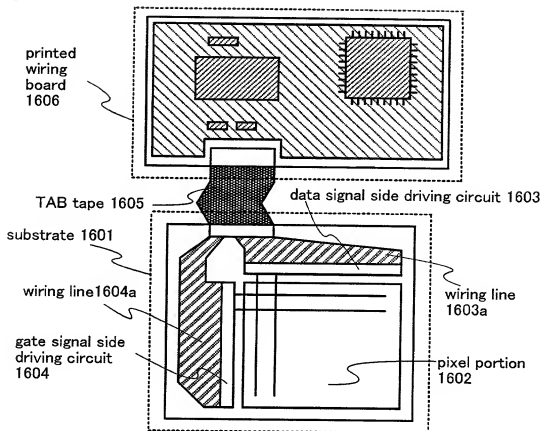
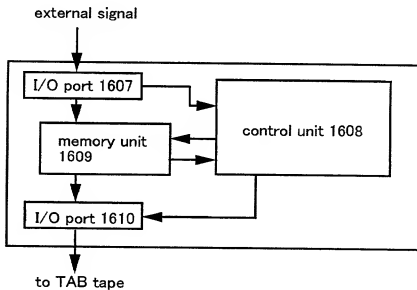


Fig. 16B



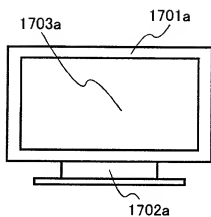


Fig. 17A

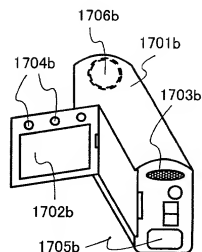


Fig. 17B

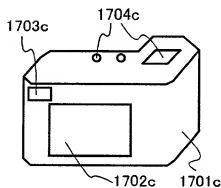


Fig. 17C

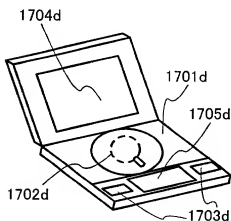


Fig. 17D

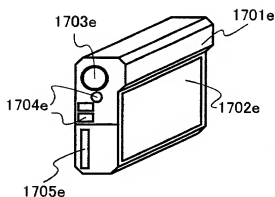


Fig. 17E

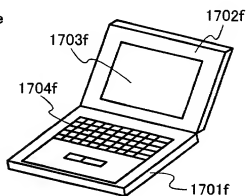


Fig. 17F

1006054.122101

Fig. 18A

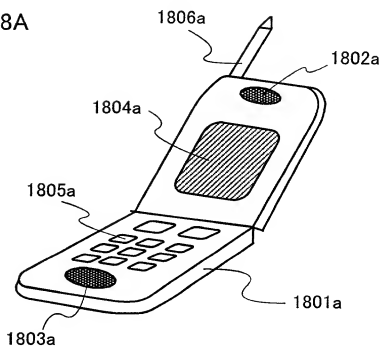
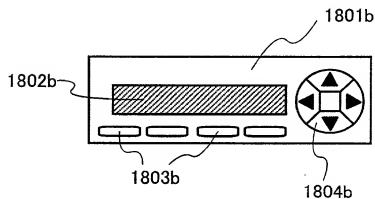


Fig. 18B



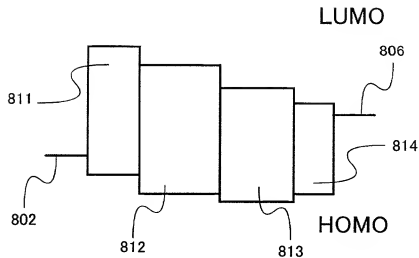


Fig. 19A

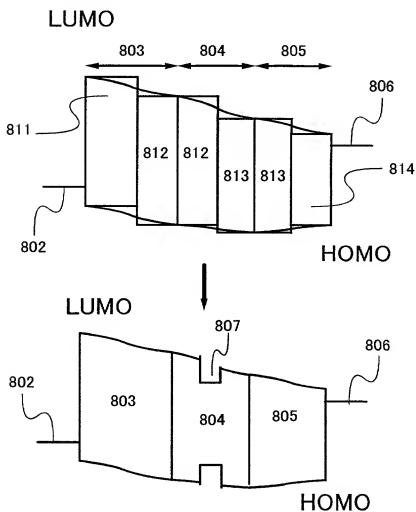


Fig. 19B

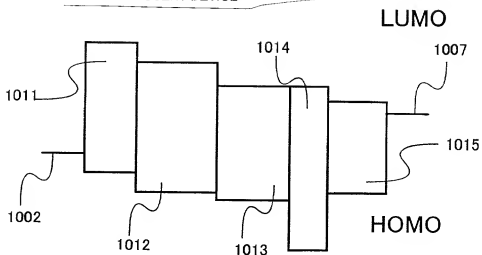


Fig. 20A

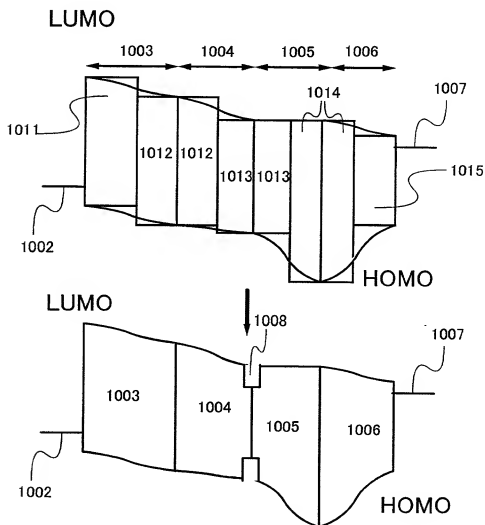
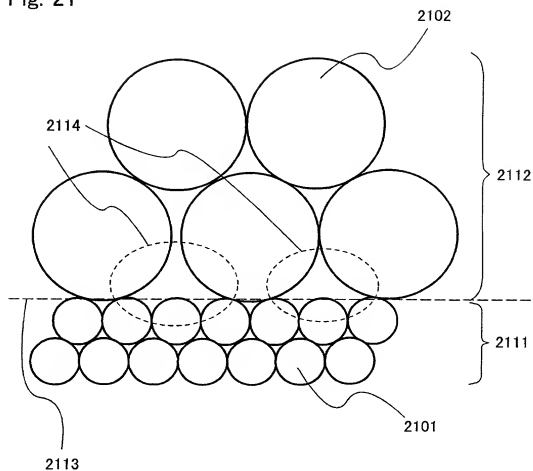


Fig. 20B

101221-49092001

Fig. 21



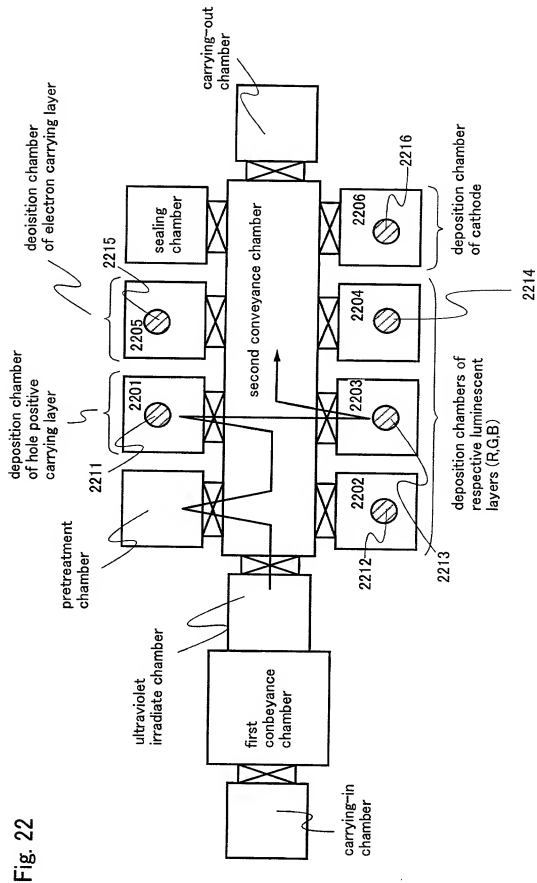
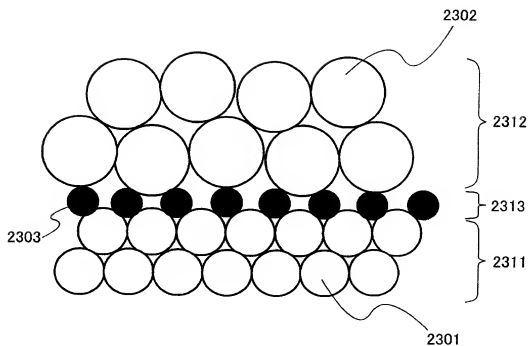


Fig. 22

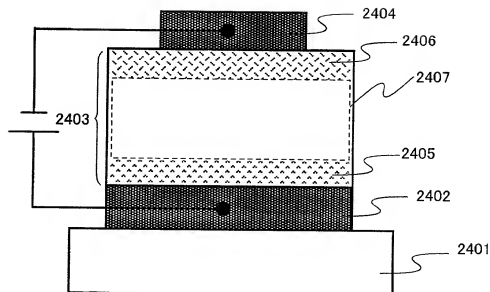
101221-19092001

Fig. 23



10026064.122101

Fig. 24



10056064.122104

Fig. 25

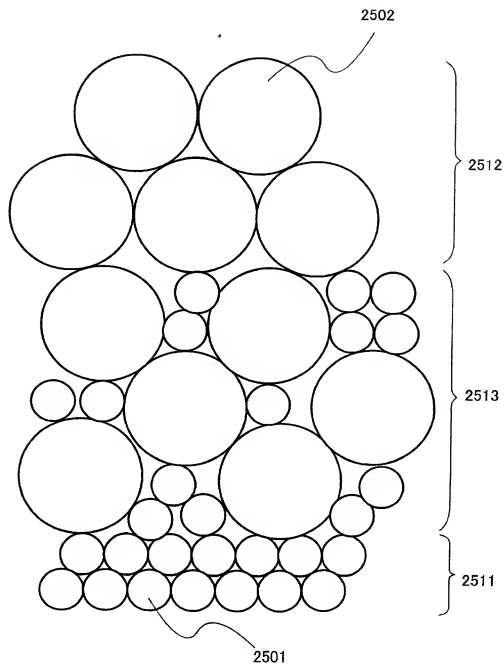


Fig. 26A

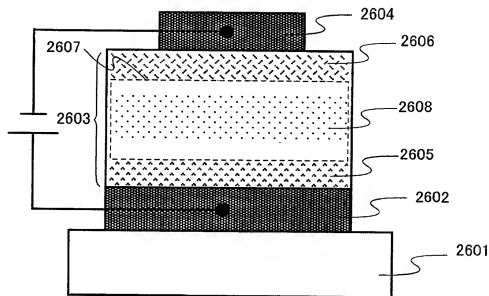
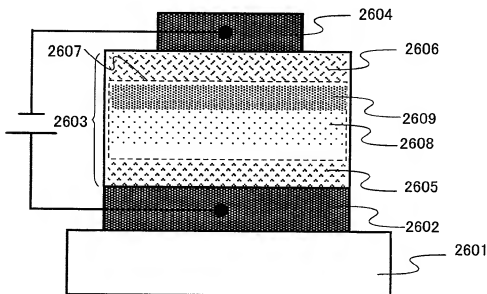


Fig. 26B



10026064.122101

Fig. 27

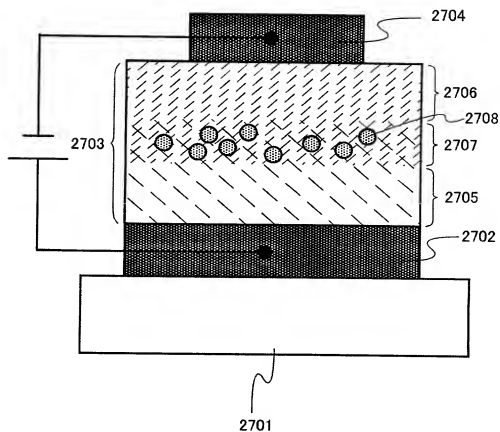


Fig. 28

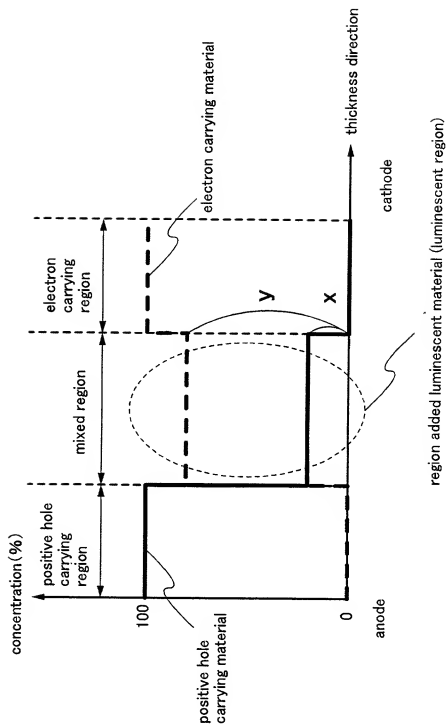


Fig. 29A

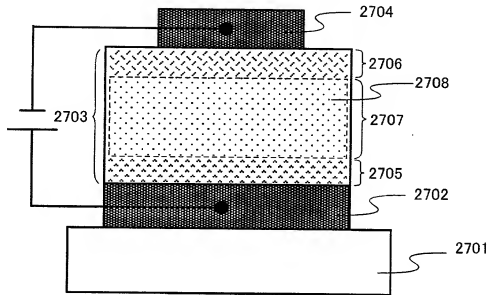
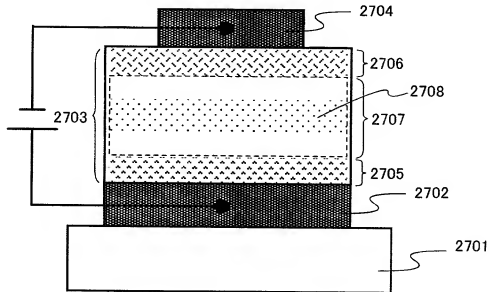


Fig. 29B



10026064-122101

Fig. 30A

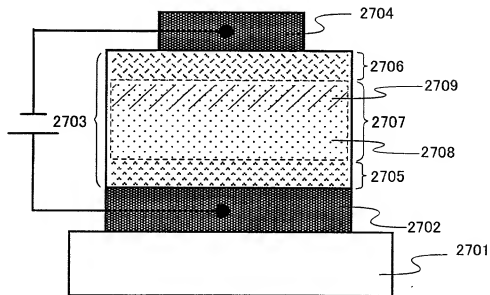


Fig. 30B

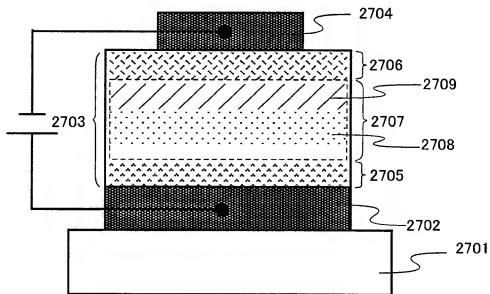


Fig. 31A

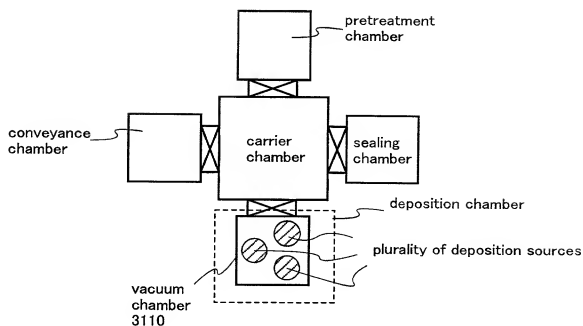


Fig. 31B

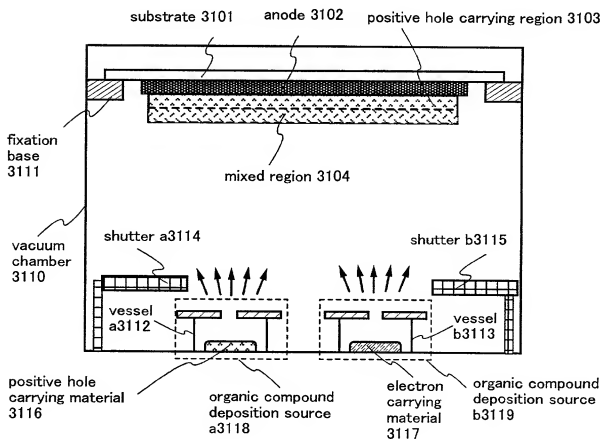


Fig. 32A

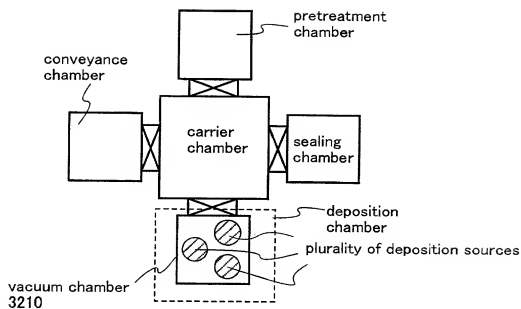
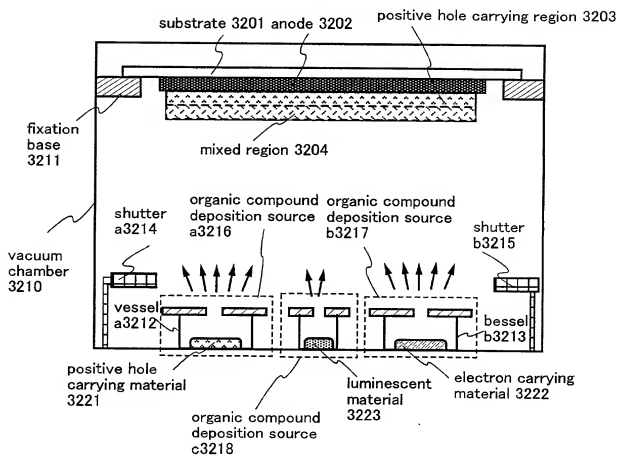
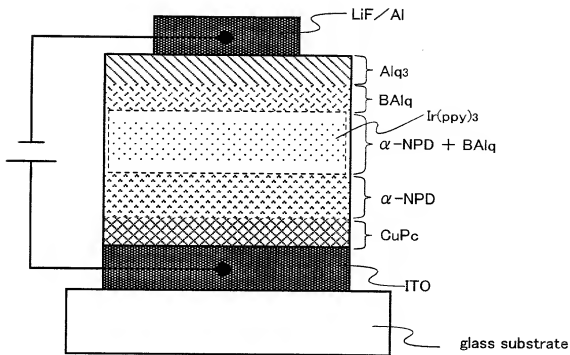


Fig. 32B



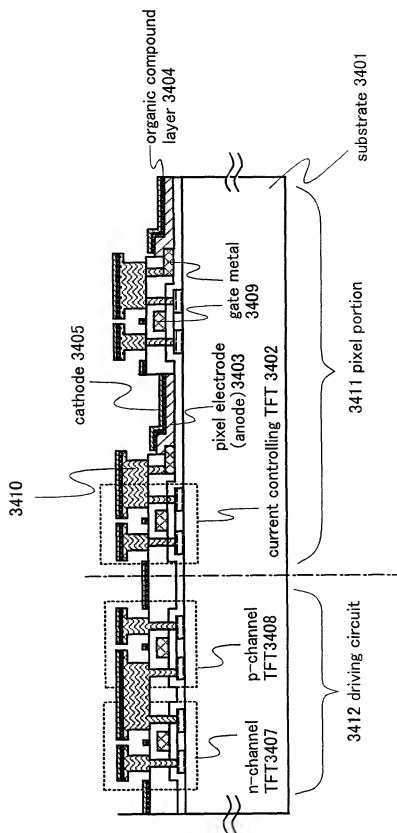
101221-4502201

Fig. 33



10026064-122101

Fig. 34



101227-49092001

THE 9th & 3rd



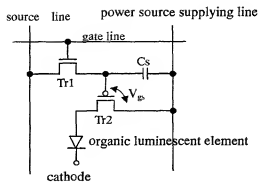


Fig. 36A

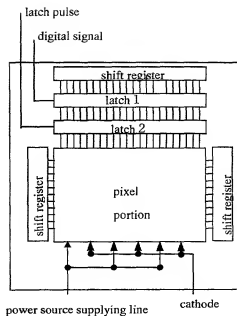
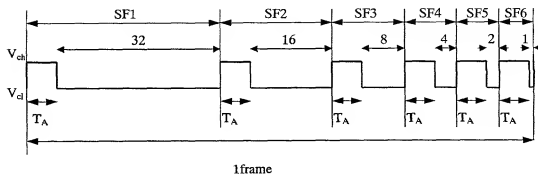


Fig. 36C

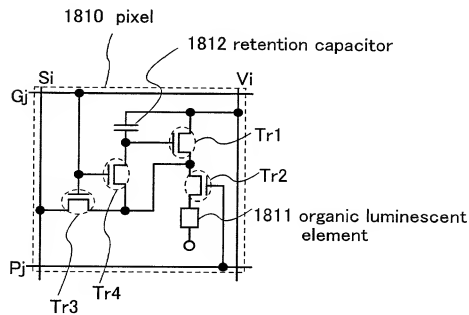


SF1-SF6:subframe, T_A : write in time

Fig. 36B

10026064-122101

Fig. 37



1002664-12101